

О ДИФРАКЦИОННОМ ИЗМЕНЕНИИ СДВИГА НУЛЯ В КОЛЬЦЕВОМ ЛАЗЕРЕ

Е. Д. Масленок и Д. К. Мынбаев

Частота биений f_0 кольцевого лазера (КЛ) может быть представлена в виде

$$f_0 = K_0 + K_1 \Omega + K_{-1} \Omega^{-1}, \quad (1)$$

где Ω — измеряемая угловая скорость, K_{-1} — коэффициент нелинейности, K_1 — масштабный коэффициент, K_0 — сдвиг нуля, представляющий собой сумму коэффициентов, из которых в данной работе будет рассмотрен один K_{0g} , обусловленный дифракционными явлениями в КЛ.

Постановка задачи заключается в следующем. Мы полагаем, что в момент включения КЛ резонатор полностью съюстирован, и вследствие разогрева он начинает равномерно расширяться. Тогда из-за совместной работы систем стабилизации периметра (ССП) и стабилизации мощности (ССМ) в КЛ последовательно происходит следующее: резонатор КЛ разъюстируется вследствие компенсирующего движения зеркала, установленного на пьезокерамике, поэтому увеличиваются дифракционные потери ε_g , уменьшается усиление за проход G , что приводит к уменьшению мощности излучения; увеличивается ток разряда для поддержания мощности излучения на заданном уровне, что вызывает увеличение как общего усиления активной среды g , так и усиления за проход G .

Отметим, что усиление g обусловлено только инверсной населенностью, а усиление за проход G , учитывающее разъюстрировку резонатора, — взаимодействием поля генерации и активной среды. Цель работы состоит в расчете величины изменения K_{0g} , вызванной изменением усиления и потерь за проход.

Рассмотрим четырехзеркальный резонатор КЛ со сферическим зеркалом радиуса R и с «квадратичной» средой, частично заполняющей резонатор. В работах [2, 3] показано, что дифракционное расщепление частот встречных волн в КЛ связано с нелинейностью активной среды, конкретно различие пространственных распределений встречных волн вызывает различие соответствующих коэффициентов усиления, что приводит к рассматриваемому эффекту. Согласно [2], дифракционное расщепление частот для резонатора, близкого к конфокальному, будет много меньше, чем для резонатора, близкого к концентрическому или плоскому, и может быть представлено в виде

$$K_{0g} = \frac{\varepsilon}{48} \frac{\eta c}{L} \frac{(N_p G_{\text{пор}})^2 l' g_0 (2z'_0 - 1) (1 - g_0)}{(1 - g_0^2)^{3/2}} \left[1 - \frac{N_p p_0^2(z'_0)}{6 \sqrt{1 - g_0^2}} \right], \quad (2)$$

где ε — потери за проход, $G_{\text{пор}}$ — пороговое усиление, η — превышение усиления над потерями. Остальные обозначения l' , z'_0 , N_p , $p_0^2(z'_0)$, g_0 соответствуют обозначениям работы [2] и, являясь геометрическими характеристиками конкретного резонатора, будут для такого постоянными: $l' = L_a/L$, $z'_0 = z_0/L$, $N_p = L/ka_p^2$, $p_0^2(z'_0) = 1 - 2z'_0(1 - z'_0)(1 - g_0)$. Поэтому для конкретного КЛ выражение (2) можно переписать в виде

$$K_{0g} = A(G - \varepsilon) \varepsilon^2; \quad A = \text{const.} \quad (3)$$

Изменение величины дифракционного расщепления, вызванное изменением усиления G и потерь ε при совместной работе ССМ и ССП, можно определить методами теории чувствительности.

Это изменение запишется так

$$\Delta K_{0g} = |A\varepsilon^2| \Delta G + |2AG\varepsilon - 3A\varepsilon^2| \Delta \varepsilon. \quad (4)$$

В изменение усиления вносят вклад два эффекта: вследствие разъюстрировки резонатора уменьшается усиление за проход G , увеличиваются дифракционные

потери ε_g , а вследствие поддержания мощности излучения постоянной увеличивается усиление активной среды g . В момент включения КЛ мощность излучения равна [1]

$$I_0 = \frac{J_0 C_0^2 G_0 - \varepsilon_0}{J_1 C_0^4 G_0},$$

а после разогрева при совместной работе ССП и ССМ получим

$$I_1 = \frac{J'_0 C_1^2 G_1 - \varepsilon_1}{J'_1 C_1^4 G_1},$$

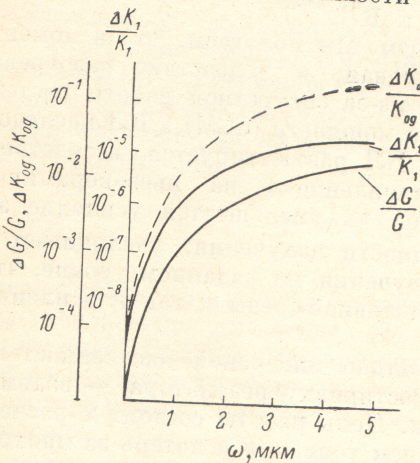
где J'_0 , J'_1 , J_0 , J_1 — интегралы перекрытия, учитывающие пространственное пересечение инверсной населенности и поля генерации основной моды TEM_{00g} [1].

Можно показать, что $J'_0 = J_0 + \Delta J_0$, $J'_1 = J_1 + \Delta J_1$. Учитывая, что $I_0 = I_1$, можно найти относительное изменение усиления за проход

$$\frac{\Delta G}{G} = 1 - \frac{\varepsilon_0}{\varepsilon_1} \left[1 - \frac{\Delta J_1}{J_1} \left(\frac{\eta'}{\eta'_{\text{нор}}} - 1 \right) + \frac{\Delta J_0}{J_0} \frac{\eta'}{\eta'_{\text{нор}}} \right]; \quad \eta' = \frac{G}{\varepsilon}. \quad (5)$$

Увеличение потерь за проход определим следующим образом [1]

$$\varepsilon_1 = \varepsilon_0 + 2 \rho_1 \rho_2 \rho_3 \rho_4 \varepsilon_g \frac{R^2 k^2}{1 - g_0^2} \sum_i \varphi_i^2 = \varepsilon_0 + \Delta \varepsilon, \quad (6)$$



а следовательно, от $\sum_i \varphi_i^2$, где φ_i — угол разьюстировки луча, падающего на i -зеркало. В случае нормального смещения зеркала, установленного на пьезокерамике, углы разьюстировки φ_i будут функцией величины перемещения пьезокерамики ω [1]

$$\varphi_1 = -\frac{\omega \sqrt{2}}{4l_2}, \quad \varphi_2 = \frac{\omega \sqrt{2}}{4l_1}, \quad \varphi_3 = \frac{\omega \sqrt{2}}{4l_2}, \quad \varphi_4 = \frac{\omega \sqrt{2}}{4l_1}, \quad (7)$$

где l_1 и l_2 — длины плеч резонатора.

Подставляя (7) в (6), а (5) и (6) в (4), найдем искомое изменение сдвига нуля в зависимости от перемещения пьезокерамики. На рисунке представлены зависимости изменения относительного дифракционного сдвига нуля $\Delta K_{0g}/K_{0g}$ и масштабного коэффициента $\Delta K_1/K_1$ (последняя зависимость построена по результатам работы [1]) от величины ω . Для КЛ с параметрами

$$\begin{aligned}
 a_p &= 1.75 \cdot 10^{-3} \text{ м} & g_0 &= 0.64 & G &= 1.2 \cdot 10^{-2} \\
 P_0^2(z'_0) &= 0.93 & L &= 1 \text{ м} & \varepsilon &= 10^{-2} \\
 l' &= 0.6 & l_1 &= 0.3 \text{ м} & \varepsilon_g &= 10^{-3} \\
 z'_0 &= 0.1 & l_2 &= 0.2 \text{ м} & p_x &= 4.4 \cdot 10^{-4} \text{ м} \\
 N_p &= 0.03 & \frac{\eta'}{\eta'_{\text{нор}}} &= 1.2 & p_y &= 4.0 \cdot 10^{-4} \text{ м},
 \end{aligned}$$

полагая $\omega = 5 \cdot 10^{-6}$ м, получим $\Delta K_{0g} = 6.5 \cdot 10^{-5}$ Гц.

Относительное изменение дифракционного сдвига нуля при $K_{0g} = 2.7 \cdot 10^{-4}$ Гц равно $\Delta K_{0g}/K_{0g} = 2.4 \cdot 10^{-1}$. Полученные результаты можно практически использовать с целью внесения поправки в величины K_0 и K_1 .

Авторы благодарны Э. Е. Фрадкину за полезные обсуждения и советы.

Литература

- [1] Е. Д. Масленок, Д. К. Мынбаев, Э. Е. Фрадкин. Опт. и спектр., 54, 1983.
- [2] В. Ф. Бойцов, Т. А. Мурин, Э. Е. Фрадкин. Опт. и спектр., 36, 539, 1974.
- [3] В. Ф. Бойцов. Опт. и спектр., 44, 550, 1978.

Поступило в Редакцию 25 декабря 1981 г.

УДК 535.34 : 537.531 : 546.11

СЕЧЕНИЕ ФОТОПОГЛОЩЕНИЯ МОЛЕКУЛЯРНОГО ВОДОРОДА В ОБЛАСТИ 70—200 эВ

B. I. Алавердов и E. P. Подоляк

Точные данные о спектральной зависимости сечения фотопоглощения молекулярного водорода крайне необходимы для большого круга задач, связанных с изучением лабораторной плазмы, космического излучения, с созданием фотоионизационных детекторов различных типов и т. п.

В работе [1] приведены результаты измерений сечений фотопоглощения водорода в области 27—59 эВ. Точность измерений $\approx 10\%$. Данные в области 151—277.4 эВ получены в работе [2]. Полная погрешность оценена в 2—3%. В работе использовался коммерческий водород (чистота 99.98%) без дополнительной очистки. Наконец в [3] получены значения сечений в интервале 109—398.4 эВ. Чистота использованного газа 99.9%. Однако в области 59—150 эВ литературные данные отсутствуют (кроме единственной точки 109 эВ [3]).

В данной работе впервые измерены сечения фотопоглощения в области энергий фотонов 70—150 эВ. Измерения сечения фотопоглощения водорода проводились на рентгеновском спектрометре РСЛ-400 [4]. Для этого была использована специальная система напуска водорода с отдельным каналом откачки. Наличие последнего позволило производить откачу водорода из рабочей кюветы без нарушения вакуума в приборе и, следовательно, без изменения режима работы рентгеновской трубки. Кювета длиной 95.6 мм с окнами из нитроцеллюлозы была размещена в вакуумном объеме прибора между приемной щелью и детектором рентгеновского излучения. В качестве детектора применялся каналовый умножитель ВЭУ-6 с фотокатодом CsJ. Все измерения проводились на характеристических линиях (AlL_{II} , M_{III} , BaN_{V} O_{III} , LaN_{IV} , vO_{II} , vI , RbM_{ξ} , SrM_{ξ} , YM_{ξ} , ZrM_{ξ} , MoM_{ξ}). Учет фона тормозного и рассеянного излучения производился в предположении равенства его интенсивности среднему арифметическому значению в двух симметричных относительно линии точках.

В расчете сечений использовалась формула

$$\sigma = \frac{T}{273} \frac{1013,2}{P} \frac{\ln \frac{I_0}{I}}{l N_L} \cdot 10^{22}, [\text{Мб}],$$

где T — абсолютная температура водорода, [К]; P — давление водорода, [Па]; l — длина пути излучения в поглотителе, [м]; N_L — число Лошмидта, I_0 и I — интенсивности падающего и прошедшего через газ излучения соответственно.

Для исключения влияния сморщивания пленок нитроцеллюлозы на окнах кюветы измерение поглощения в каждом эксперименте производилось при двух сильно отличающихся давлениях водорода, а для расчетов сечения использовалась их разность. При этом меньшее давление выбиралось достаточ-